

Une nouvelle espèce et deux nouveaux synonymes dans le genre *Neacratius* (Coleoptera, Brentidae, Acratini)

Antoine MANTILLERI

Muséum national d'Histoire naturelle, Entomologie, C. P. 50, 57 rue Cuvier, F – 75231 Paris cedex 05
<amantill@mnhn.fr>

<http://zoobank.org/07691358-4834-40F3-8026-026CA2F5083F>

(Accepté le 14.VI.2019 ; publié le 11.X.2019)

Résumé. – Une nouvelle espèce du genre *Neacratius* est décrite, *N. buticulifer* n. sp., de Tarapoto, au Pérou. Sur la base de l'étude des spécimens-types, deux nouvelles synonymies sont établies pour *Neacratius clavipes* (Boheman) : *Nemocephalus fasciatus* Kleine, 1922, n. syn. de *Brenthus clavipes* Boheman, 1840, et *Nemocephalus proseni* Haedo Rossi, 1954, n. syn. de *Brenthus clavipes* Boheman, 1840. Une redescription détaillée est donnée et des hypothèses concernant l'aire de répartition de cette espèce sont proposées.

Abstract. – **One new species and two new synonyms in the genus *Neacratius* (Coleoptera, Brentidae, Acratini).** A new species of the genus *Neacratius*, *N. buticulifer* n. sp., is described from Tarapoto, Peru. Based on the study of the type specimens, two new synonymies are established for *Neacratius clavipes* (Boheman): *Nemocephalus fasciatus* Kleine, 1922, n. syn. of *Brenthus clavipes* Boheman, 1840, and *Nemocephalus proseni* Haedo Rossi, 1954, n. syn. of *Brenthus clavipes* Boheman, 1840. A detailed redescription is given and hypothesis are proposed concerning the distribution of this species.

Keywords. – Taxonomy, morphology, genitalia, Neotropical region.

Le genre *Neacratius* Alonso-Zarazaga, Lyal, Sforzi & Bartolozzi, 1999, comprend actuellement 20 espèces décrites, mais de nombreuses attendent encore d'être nommées. Par ailleurs, des incertitudes pèsent sur le statut de plusieurs taxa. Ainsi, l'examen du matériel-type de *Brenthus clavipes* Boheman, 1840, *Nemocephalus fasciatus* Kleine, 1922, et *Nemocephalus proseni* Haedo Rossi, 1954, a posé la question de la conspécificité de ces trois taxa dans le genre *Neacratius*. Enfin, l'étude de spécimens non identifiés dans les collections du MNHN a révélé la présence d'un mâle ne semblant pouvoir être rattaché à aucune espèce connue.

MATÉRIEL ET MÉTHODES

Les genitalia ont été montés dans l'Euparal® entre lame et lamelle. Les mesures ont été prises à l'aide d'une loupe binoculaire Nikon SMZ1000 et d'un oculaire micrométrique gradué. Les photographies ont été réalisées avec un appareil Canon EOS 6D associé à un objectif MP-E 65mm Macro f/2.8 et monté sur un dispositif semi-automatique Cognisys Rail macro Stack Shot piloté par le logiciel Helicon Remote. Les photographies ont été combinées en utilisant le logiciel Helicon Focus 6 et traitées à l'aide d'Adobe Photoshop CS5.

Les étiquettes des spécimens typiques sont citées sans interprétation, le symbole “/” séparant deux étiquettes différentes. Pour le matériel non typique, les noms des localités ont été actualisés si nécessaire.

Abréviations utilisées. – AMNH, American Museum of Natural History, New York, États-Unis (Lee Herman); CMNC, Canadian Museum of Nature, Ottawa, Canada (Robert Anderson et François Génier); IMLA, Fundacion e Instituto Miguel Lillo, Universidad Nacional de Tucuman, Argentine

(Emilia Constanza Perez); **MNHN**, Muséum national d'Histoire naturelle, Paris; **MZUF**, Museo di Storia Naturale, Sezione di Zoologia “La Specola”, Florence, Italie (Luca Bartolozzi); **MZUSP**, Museu de Zoologia da Universidade de São Paulo, Brésil (Sonia Casari); **SMTD**, Staatliches Museum für Tierkunde, Dresden, Allemagne (Olaf Jäger); **USNM**, National Museum of Natural History, Washington, DC, États-Unis (Lourdes Chamorro).

TAXONOMIE

Neocratus clavipes (Boheman, 1840) (fig. 1-4)

Brenthus clavipes Boheman in Schoenherr, 1840 : 547.

Nemocephalus clavipes (Boheman); Blackwelder, 1947 : 775; Kleine, 1952 : 60.

Neocratus clavipes (Boheman); Sforzi & Bartolozzi, 2004 : 571; Mantilleri *et al.*, 2017 : 66.

Nemocephalus fasciatus Kleine, 1922 : 145, **n. syn.**

Neocratus fasciatus (Kleine); Sforzi & Bartolozzi, 2004 : 573.

Nemocephalus proseni Haedo Rossi, 1954 : 2, **n. syn.**; Soares & Scivittaro, 1977 : 92.

Matériel-type. – *B. clavipes*. LECTOTYPE : ♂, “Brésil / Chevrolat 284 / type / ex Musaeo G. Power / Muséum Paris 1952 coll. R. Oberthür / des. Lectotype Sforzi & Bartolozzi 2000 / A. Mantilleri prép. micro. n°AM00184 / MNHN EC2829”. Désigné par Sforzi & Bartolozzi (2004 : 571).

PARALECTOTYPES : 1 ♀, “Brésil / Chevrolat 284 / Thomson ♀ 93 / type / ex Musaeo G. Power / Muséum Paris 1952 coll. R. Oberthür / Paralectotype / A. Mantilleri prép. micro. n°AM00185 / MNHN EC2830”; 1 ♂, “*Br. clavipes*, Brasil, Chevrol. / allotypus / NHRS-JLKB 000020312”; 1 ♀, “Brasilia / typus / 390 [illisible] / NHRS-JLKB 000020311”.

N. fasciatus. HOLOTYPE : ♂, “Venezuel. / 1684 / typus / prép. micro. n°AM-SMTD 00006” (SMTD).

N. proseni. HOLOTYPE : ♂, “Bemberg, Mis. R. A., 14-30.III.1945, Hayward, Willink y Golbach / holotypus / TCOL028” (IMLA).

ALLOTYPE : ♀, *idem* holotype, “TCOL029” (IMLA).

Matériel examiné. – **Argentine.** Holotype et allotype *N. proseni*, photographies (IMLA); 1 ♂, Jujuy Prov., Calilegua Nat. Park, Aguas Negras [23°45'S - 64°51'O], 550 m, camp, groundforest, Malaise-FIT, 18-28.XII.1987, S. & J. Peck, prép. micro. n°AM-CMNC00017 (CMNC); 1 ♂, Misiones, P. N. Iguazu, Sendero Macuco [25°40'S - 54°27'O], 180 m, forest, UV light trap, 8.XII.1990, S. & J. Peck (CMNC).

Brésil. Lectotype et paralectotypes *B. clavipes* (MNHN); 1 ♂, Brésil, Thomson 101, ex Musaeo G. Power (MNHN); 1 ♂, Brasil, *clavipes* Boh. Bras. (Pow), Jek (MNHN); 1 ♂, Bahia (MNHN); 1 ♂, État de Bahia, Cachimbo [aujourd'hui Ribeirão do Largo : 15°27'S - 40°44'O], 1890, Ch. Pujol (MNHN); 1 ♂, État de Goiás, Jataí [17°53'S - 51°43'O] (MNHN); 1 ♂, État du Minas Gerais, Caraça [20°06'S - 43°29'O], 1.VII-31.XII.1884, P. Germain (MNHN); 5 ♂, 1 ♀, État de Sao Paulo, vallée du rio Pardo [22°56'S - 49°38'O], XII.1898, E. Gounelle (MNHN); 1 ♀, État de Rio de Janeiro, Saquarema [22°55'S - 42°34'O], VIII-IX.1884, P. Germain, prép. micro. n°AM00429 (MNHN); 1 ♂, Rio de Janeiro [22°54'S - 43°10'O], d. Desbrochers (MZUF); 1 ♂, État de Santa Catarina, Timbó [26°49'S - 49°16'O], XI.1961, R. von Diringshofen (MZUSP); État de Santa Catarina, Corupá (Hansa Humbolt) [26°25'S - 49°15'O], X.1946, A. Maller (AMNH). **Paraguay.** 1 ♂, Paraguay (MNHN); 1 ♂, Sapucaí [25°40'S - 56°57'O], 16.XII.1904 (MNHN); 1 ♂, Paraguari-Yaguarón [ca 25°36'S - 57°13'O], Santa Clara, 1900, Gosset (MNHN); 1 ♂, 2 ♀, Rio Confuso [25°00'S - 57°35'O], XII.1936, Lapchinoscy (MZUF); 1 ♀, Paraguay, Dr Bohls. (MZUF); 1 ♂, San Bernardino [25°18'S - 57°18'O], K. Fiebrig, prép. micro. n°AM-NMNH 00018 (USNM). **Venezuela** (?). Holotype *N. fasciatus* (SMTD).

Redescription du mâle (fig. 1-3). – Longueur de l'extrémité du rostre à l'apex des élytres : 12,0-19,6 mm; longueur de l'apex du pronotum à l'extrémité des élytres : 8,9-14,1 mm; largeur au niveau des calus huméraux : 1,8-2,8 mm. Tout le corps de couleur brun-rouge, les élytres souvent un peu plus clairs avec une tache post-médiane diffuse, plus sombre; étendue de la partie éclaircie très variable.

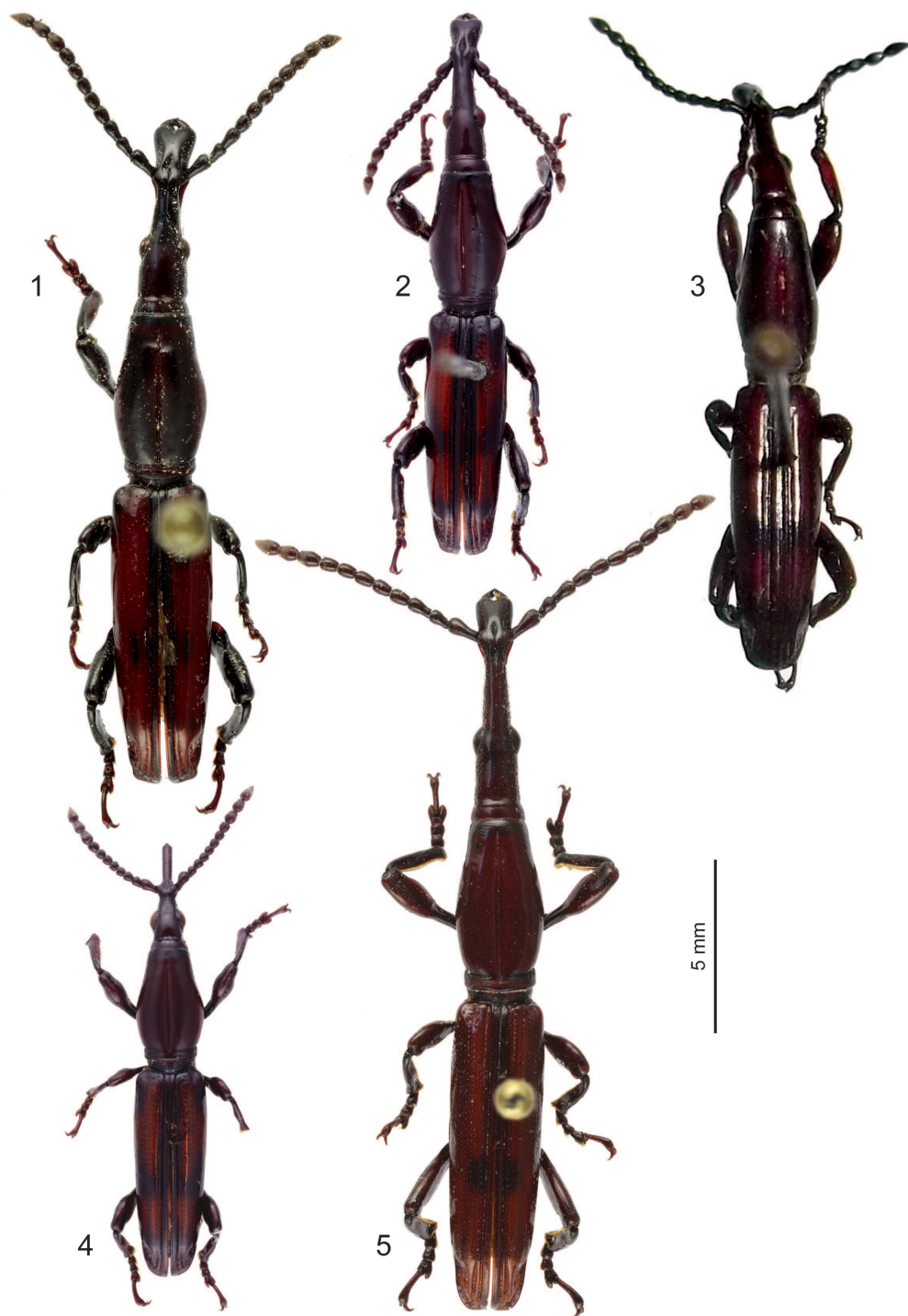


Fig. 1-5. – *Neocratus* spp., spécimens-types. – 1-4, *Neocratus clavipes* (Boheman) : 1, *Brenthus clavipes* Boheman, ♂ lectotype ; 2, *Nemocephalus fasciatus* Kleine, ♂ holotype ; 3, *Nemocephalus proseni* Haedo Rossi, ♂ holotype ; 4, *Brenthus clavipes* Boheman, ♀ paralectotype. – 5, *Neocratus buticulifer* n. sp., ♂ holotype.

Tête (fig. 6-8). Prorostre égal à 0,6× la longueur du mésorostre et du métarostre réunis, échancré et un peu élargi à l'apex (surtout chez les plus grands spécimens), avec un net sillon basal, sans carènes latérales. Mésorostre sillonné. Métarostre finement sillonné longitudinalement, non caréné sur les côtés. Yeux 0,6× aussi longs que les tempes. Tête lisse (fig. 6), non sillonnée, fovéole inter-oculaire absente, séparation collaire peu nette. Côtés de la tête et du métarostre (fig. 7) avec de gros pores sensoriels. Dessous de la tête (fig. 8) avec de gros pores sensoriels devenant alignés en deux rangées sur le métarostre, ces deux rangées séparées par une carène longitudinale plus ou moins élevée; pores sensoriels n'atteignant pas la base du prorostre. Antennes (fig. 9) à article 2 élargi à l'apex, un peu plus long que large; article 3 subconique, plus long que large; 9-10 subglobuleux, rétrécis à la base et à l'apex, un peu plus longs que larges; article 9 1,2-1,4× plus long que le 8^e; article 11 le plus long, 1,5-1,8× plus long que le 9^e, plus large avant sa base et s'amincissant progressivement vers l'apex.

Thorax. Pronotum 1,7-1,8× plus long que large, lisse, sillonné longitudinalement, assez brillant. Stries élytrales 1-2 marquées, la 2^e s'arrêtant bien avant la base, au niveau du quart antérieur des élytres; stries 3-8 presque complètement effacées, les lignes de ponctuations à peine visibles. Apex des élytres formant un léger épaississement au niveau de l'angle extérieur; face interne sans zone duveteuse bien développée. Scutellum non fovolé, non inséré entre les élytres à la base. Pas de ponctuations en avant des procoxae. Métasternum lisse, brillant; métanépisternes avec une rangée longitudinale de ponctuations. Trochanters glabres. métafémurs non pédonculés, comprimés latéralement à la base, pas déprimés sur les côtés, glabres (fig. 10). Pro- et mésotibias pubescents le long de leur arête interne, les métatibias glabres à subglabres. Premier tarsomère pas plus long que large, plus court que les articles 2-3 pris ensemble, ces derniers déprimés sur le dessus.

Abdomen (fig. 11). Sternites III-IV glabres, non ponctués, profondément sillonnés-déprimés longitudinalement, non ponctués en arrière des métacoxae; sternites V-VI lisses; sternite VII lisse, un peu pubescent à l'apex. Tergites membraneux clairs. Sternites VIII-IX (fig. 24, 27) avec un petit sclérite intermédiaire. Tegmen (fig. 25, 28) élargi à la base; lobes paraméroïdes courts, à longues soies assez nombreuses. Pénis (fig. 26, 29) arrondi à l'apex, frena bien distincts; témones plus longs que la partie distale du pénis; endophallus avec un sclérite basal impair en forme de large baguette devenant un peu bifide dans sa partie proximale.

Femelle (fig. 4). – Longueur de l'extrémité du rostre à l'apex des élytres : 11,0-14,5 mm; longueur de l'apex du pronotum à l'extrémité des élytres : 8,1-11,2 mm; largeur au niveau des calus huméraux : 1,6-2,4 mm. Coloration identique à celle du mâle.

Tête (fig. 12-14). Prorostre égal à 1,3-1,6× la longueur du mésorostre et du métarostre réunis, l'apex non échancré en face dorsale. Mésorostre sillonné. Métarostre fortement sillonné longitudinalement sur sa partie antérieure. Yeux 1,6-1,7× plus longs que les tempes. Tête (fig. 12) lisse, séparation avec le "cou" bien marquée; tempes avec une rangée de gros pores sensoriels en arrière des yeux; fovéole inter-oculaire absente. Côtés du métarostre (fig. 13) avec des pores sensoriels. Dessous de la tête et du métarostre (fig. 14) avec deux rangées de pores sensoriels bien alignés. Dessous du prorostre lisse, profondément échancré à l'apex. Antennes (fig. 15) à article 2 aussi long que large, très élargi à l'apex; article 3 conique, transverse; articles 4-8 transverses, subglobuleux; articles 9-10 comme chez le mâle, le 9^e égal à 1,4× la longueur du 8^e; article 11 le plus long, 1,4-1,5× plus long que le 9^e, sa plus grande largeur près de la base et progressivement rétréci vers l'apex.

Thorax. Pronotum comme chez le mâle, 1,6-1,7× plus long que large. Scutellum et élytres comme chez le mâle. Prosternum, mésosternum et métasternum comme chez le mâle. Pattes (fig. 16) comme chez le mâle, mais les métafémurs pas comprimés latéralement à la base, avec une petite dépression; tibias pubescents sur leur arête interne.

Abdomen (fig. 17). Sternites III-VI lisses, non sillonnés, non ponctués. Sternite VII lisse, un peu pubescent à l'apex. Tergites membraneux clairs. Tergite VIII (fig. 31) à 5-6 dents apicales émoussées. Épipleurites VIII (fig. 32) avec une grande glande en face ventrale. Base des coxites pas élargie; deux glandes accessoires insérées sur le tractus génital, vagin sans sclérotisations; spermathèque en faucille, le conduit court (fig. 30).

Distribution. – *Neacratus clavipes* semble être une espèce à répartition limitée au biome de la Forêt atlantique (sud-est du Brésil, nord de l'Argentine et Paraguay : voir fig. 36), comme

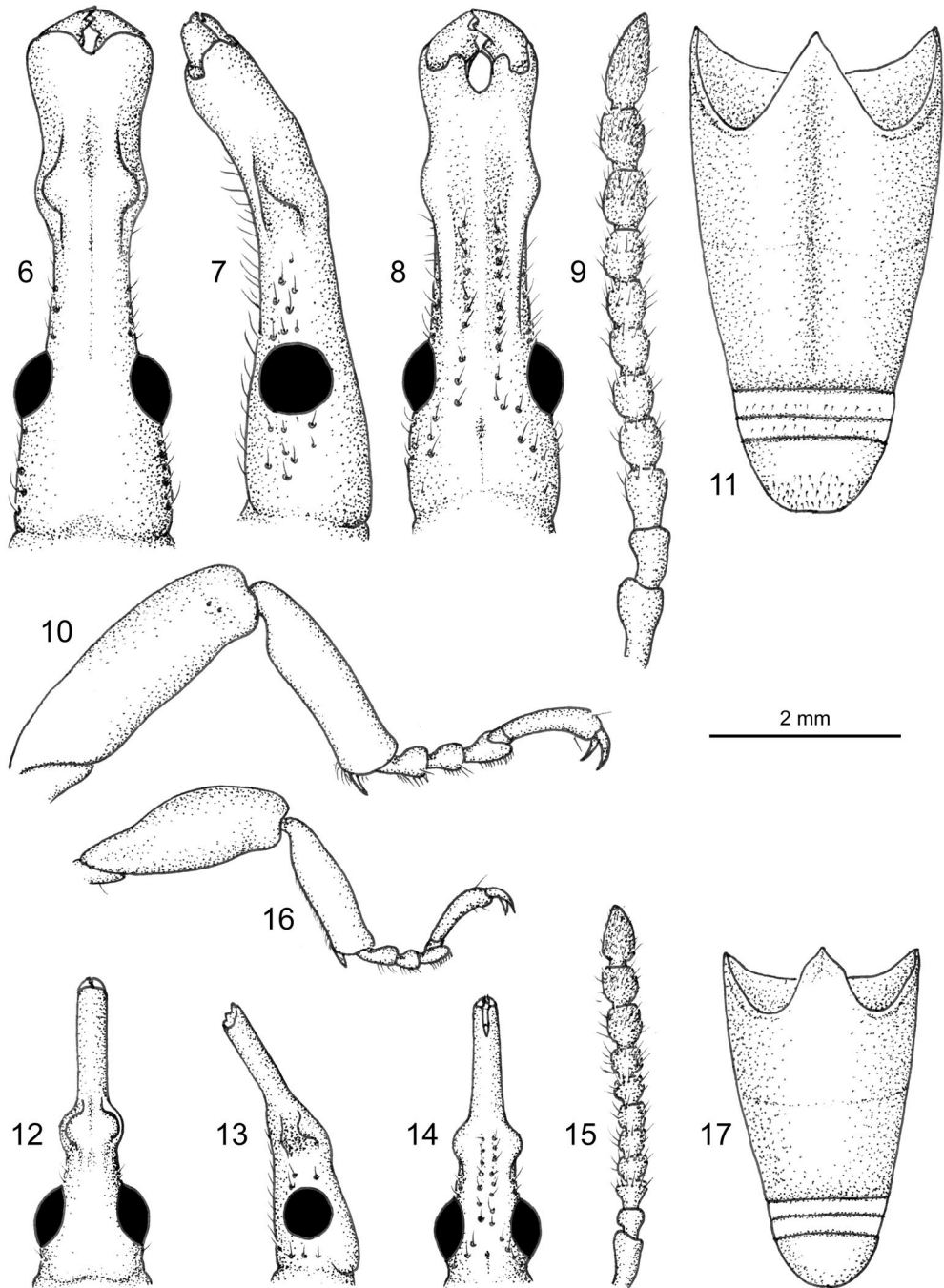


Fig. 6-17. – *Neacratus clavipes* (Boheman). – 6-11, ♂ : 6-8, tête (6, face dorsale ; 7, côté gauche ; 8, face ventrale) ; 9, antenne droite ; 10, patte postérieure gauche ; 11, abdomen, face ventrale. – 12-17, ♀ : 12-14, tête (12, face dorsale ; 13, côté gauche ; 14, face ventrale) ; 15, antenne droite ; 16, patte postérieure gauche ; 17, abdomen, face ventrale.

c'est le cas par exemple pour *N. famulus* (Boheman, 1840) (MANTILLERI, 2017). Le spécimen mâle provenant du Parc national Calilegua, en Argentine (province de Jujuy), remet cependant en cause cette hypothèse de répartition. Cette localité forestière du piémont andin oriental est éloignée de plus de 800 km des régions les plus proches appartenant au biome de la Forêt atlantique ; entre les deux s'étend la formation du Chaco, peu propice aux Acratini. Faut-il donc plutôt envisager pour *N. clavipes* une aire de répartition discontinue au sein des forêts tropicales à rythme saisonnier (fig. 36) situées au sud du 15° parallèle de latitude Sud ? Des collectes supplémentaires sont nécessaires sur le versant andin oriental, dans le nord de l'Argentine et le sud de la Bolivie.

La provenance du Venezuela de l'holotype de *N. fasciatus* est très douteuse : ce spécimen est le seul parmi le matériel examiné à être originaire du nord du continent sud-américain, et les compositions faunistiques en Acratini pour ces deux régions semblent être bien différentes (MANTILLERI, 2015a, b, 2016, 2017). Les citations du Costa Rica et de Colombie (BLACKWELDER, 1947), du Pérou (KLEINE, 1952) ainsi que celles au Brésil des États d'Amazonas, Rondônia, et Mato Grosso (SOARES & SCIVITTARO, 1977), n'ont pu être confirmées et sont sans doute elles aussi erronées.

Remarque. – La comparaison des caractères externes et des genitalia du lectotype de *Neocratus clavipes* et de l'holotype de *N. fasciatus* permet sans aucun doute d'assigner ces deux spécimens à un seul et même taxon. Je propose donc la nouvelle synonymie suivante : *Nemocephalus fasciatus* Kleine, 1922, **n. syn.** de *Brenthus clavipes* Boheman, 1840.

Je n'ai pu avoir accès qu'à des photographies de l'holotype de *Nemocephalus proseni*. Celui-ci ressemble en tous points au lectotype de *N. clavipes*, en particulier au niveau de la conformation des antennes, de la base des métafémurs, des sternites III et IV de l'abdomen, et de la coloration des élytres. *N. proseni* avait par ailleurs déjà été mis en synonymie avec *N. fasciatus* par SOARES & SCIVITTARO (1977). Pour ces raisons, et même si les genitalia n'ont pu être examinés, je propose la nouvelle synonymie suivante : *Nemocephalus proseni* Haedo Rossi, 1954, **n. syn.** de *Brenthus clavipes* Boheman, 1840.

Neocratus buticulifer n. sp. (fig. 5)

<http://zoobank.org/3F69937C-AF1B-4760-8C79-E44F3C527C2D>

HOLOTYPE : ♂, Pérou, "Amazones, Tarapote [6°29'S - 76°21'O], *M. de Mathan*, 4^e Trimestre 1885 / Muséum Paris, 1952, coll. R. Oberthür / A. Mantilleri prép. micro. n°AM00423 / *Neocratus buticulifer* n. sp. A. Mantilleri det. 2019 / MNHN EC10051".

Description. – Longueur de l'extrémité du rostre à l'apex des élytres : 20,5 mm ; longueur de l'apex du pronotum à l'extrémité des élytres : 14,5 mm ; largeur au niveau des calus huméraux : 2,6 mm. Entièrement brun-rouge assez foncé, avec une tache élytrale post-médiane diffuse, plus sombre (fig. 5).

Tête (fig. 18-20). Prorostre égal à 0,3× la longueur du métarostre et du mésorostre réunis, un peu élargi et profondément échancré à l'apex, non sillonné à la base ni caréné sur les côtés, avec quelques longues soies de part et d'autre de l'échancrure apicale. Mésorostre profondément sillonné longitudinalement. Métarostre un peu sillonné en avant, ce sillon disparaissant en arrière ; pas de carènes latérales ; fossette inter-oculaire faible. Yeux 0,6× aussi longs que les tempes. Tête (fig. 18) non sillonnée, séparation avec le "cou" pas fortement marquée ; présence de gros pores sensoriels latéraux (fig. 19). Dessous de la tête et du métarostre (fig. 20) avec de nombreux gros pores sensoriels disposés sans ordre, le dessous du métarostre sans carène longitudinale. Pores sensoriels n'atteignant pas la base du prorostre en avant. Antennes (fig. 21) à article 2 élargi à l'apex, un peu plus long que large ; article 3 subconique, plus long que large ; articles 9-10 subglobuleux, un peu plus longs que larges, nettement rétrécis à la base et à l'apex ; article 9 1,2× plus long que le 8 ; article 11 le plus long, 1,4× plus long que le 9, plus large un peu en avant de sa base et progressivement rétréci vers l'apex.

Thorax. Pronotum 1,9× plus long que large, profondément sillonné, lisse, assez brillant. Stries 1 et 2 bien marquées, la 2 n'atteignant pas la base des élytres ; stries 3-8 très régressées, indiquées par des rangées de faibles ponctuations. Apex élytral légèrement tronqué, le rebord peu élargi, avec une zone duveteuse du côté interne. Scutellum non fovéolé, son apex non inséré entre la base des élytres. À peine quelques ponctuations en avant des procoxae. Métasternum lisse, métanépisternes avec une rangée de

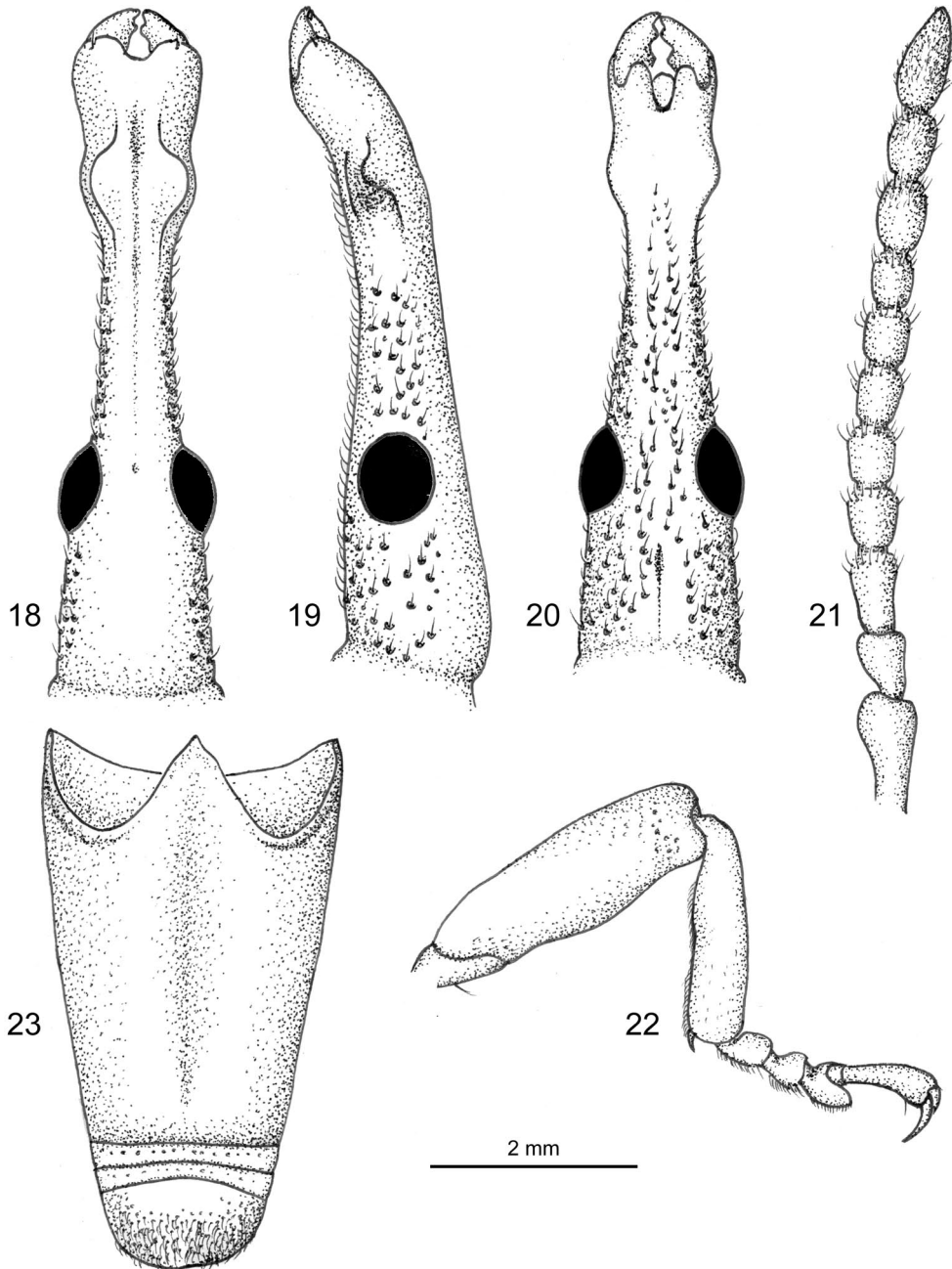


Fig. 18-23. – *Neocratus buticulifer* n. sp., ♂. – 18-20, tête : 18, face dorsale ; 19, côté gauche ; 20, face ventrale. – 21, Antenne droite. – 22, Patte postérieure gauche. – 23, Abdomen, face ventrale.

punctuations bien marquées. Trochanters avec une soie dressée ; métafémurs (fig. 22) non pédonculés, comprimés latéralement à la base, non déprimés sur les côtés, glabres à la base. Tibias pubescents sur leur arête interne. Premier tarsomère pas plus long que large, bien plus court que les articles 2-3 réunis, ces derniers fortement impressionnés sur le dessus.

Abdomen (fig. 23). Sternites III-IV glabres, à large sillon médian, à peine ponctués en arrière des métacoxae ; côtés et apex lisses. Sternites V-VI avec une rangée de très fines punctuations. Sternite VII ponctué, pubescent à l'apex. Tergites membraneux pâles. Sternites VIII-IX (fig. 33) avec un petit sclérite intermédiaire. Tegmen (fig. 34) à apodème un peu élargi à la base ; lobes paraméroïdes assez courts, arrondis, fortement pubescents à l'apex. Pénis (fig. 35) arrondi à l'apex, frena bien distincts ; témones plus longs que la partie distale du pénis ; endophallus avec un fort sclérite proximal impair en forme de bouteille à col allongé, et deux sclérifications paires de chaque côté plus en avant (voir agrandissement sur fig. 35).

Femelle inconnue.

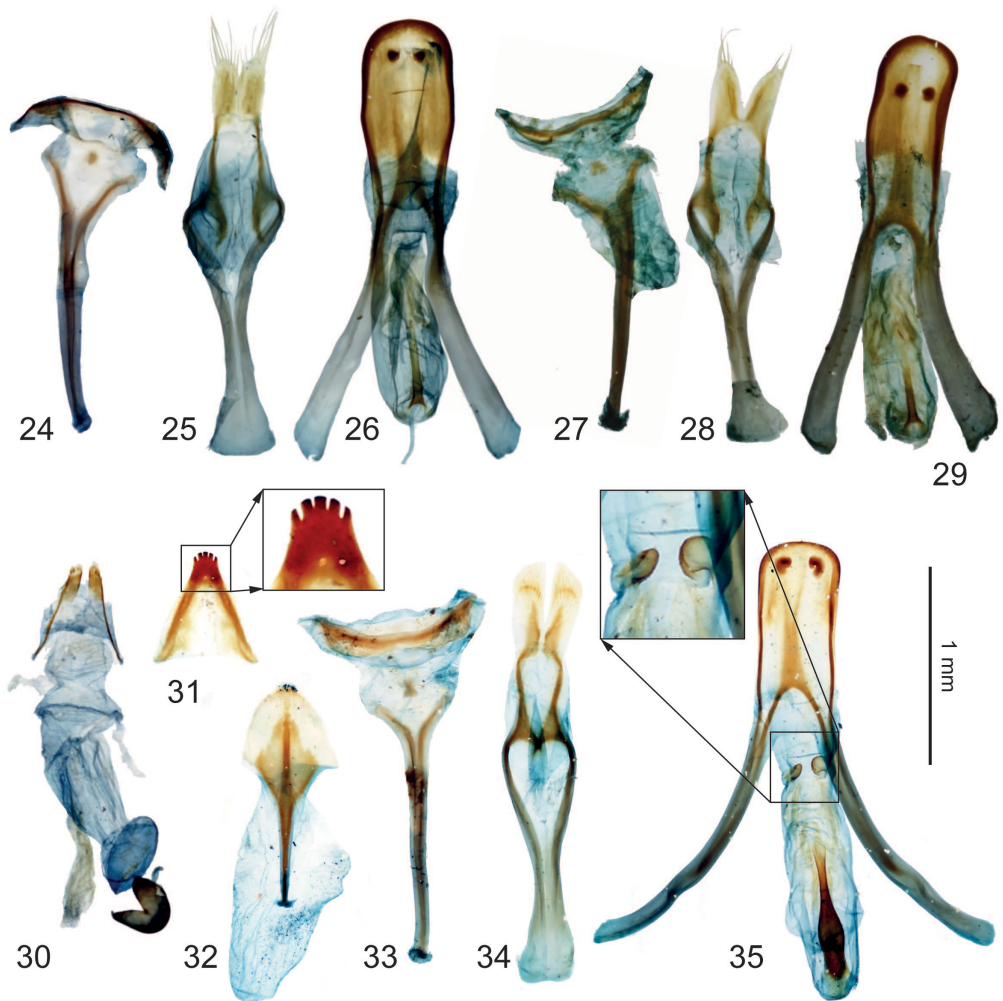


Fig. 24-35. – *Neocratus* spp., genitalia. – 24-32, *N. clavipes* (Boheman) : 24-26, *N. clavipes* (Boheman), ♂ lectotype (24, sternites VIII-IX ; 25, tegmen ; 26, pénis) ; 27-28, *Nemocephalus fasciatus* Kleine, ♂ holotype (27, sternites VIII-IX ; 28, tegmen ; 29, pénis) ; 30-32, ♀ (30, paralectotype MNHN EC2830, tractus génital ; 31, tergite VIII, préparation n°AM00429 ; 32, épipleurites VIII, préparation n°AM00429). – 33-35, *N. buticulifer* n. sp., ♂ holotype : 33, sternites VIII-IX ; 34, tegmen ; 35, pénis.

Étymologie. – Du nom latin *buticula*, bouteille, et du verbe *ferre*, porter, en raison du sclérite proximal de l'endophallus en forme de bouteille.

DISCUSSION

Neacratulus buticulifer n. sp. et *N. clavipes* sont deux taxa sans doute apparentés, partageant, entre autres, une structure particulière du sclérite proximal de l'endophallus, ce qui constitue probablement un caractère dérivé : celui-ci forme une large baguette légèrement bifide en avant, secondairement renflée chez *N. buticulifer*. Les deux espèces se distinguent cependant facilement, outre par leurs genitalia, par la stature plus allongée de *N. buticulifer*, par la disposition des pores sensoriels, plus nombreux et bien moins ordonnés en ligne sous le métarostre chez *N. buticulifer*, et par l'arête interne des métatibias presque glabre chez *N. clavipes*. Enfin, bien que *N. buticulifer* ne soit actuellement connu que par le seul mâle holotype, l'aire de répartition des deux espèces est sans doute bien différente (fig. 36).

Neacratulus clavipes et *N. buticulifer* semblent se rapprocher de *N. caballorum* Mantilleri, 2018. L'abdomen du mâle non sillonné chez ce dernier est un bon caractère discriminant, ainsi que la coloration des élytres montrant deux bandes longitudinales plus claires (MANTILLERI, 2018). En dehors de ces deux caractères, *N. clavipes* se distingue de *N. caballorum* par l'absence de fovéole inter-oculaire, les métatibias du mâle presque glabres sur leur arête interne et par les genitalia du mâle à frena bien distincts et endophallus avec un sclérite basal impair en large

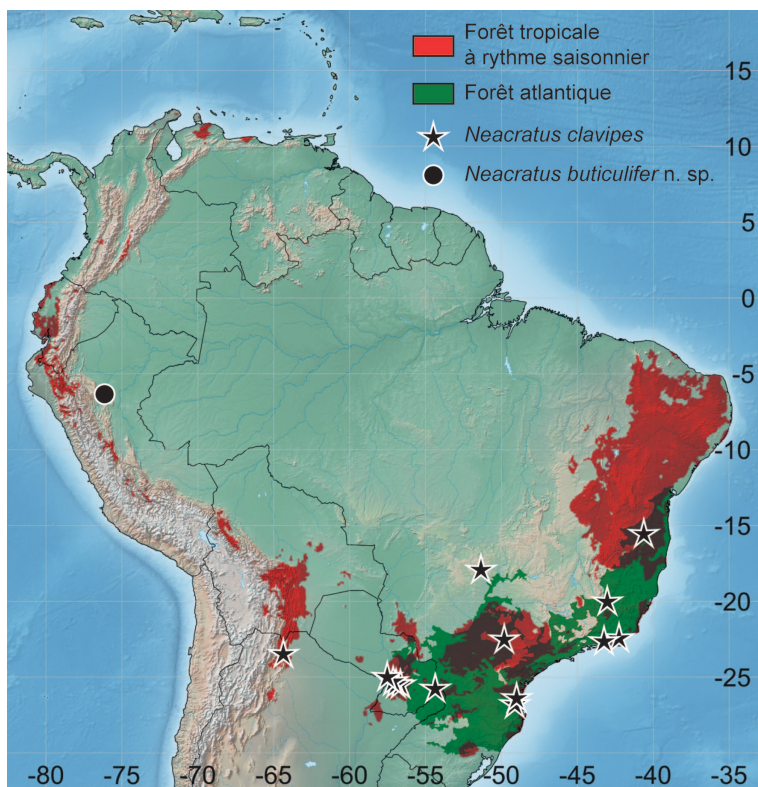


Fig. 36. – Carte de répartition des spécimens examinés de *Neacratulus clavipes* (Boheman) et *N. buticulifer* n. sp. ; holotype de *N. fasciatus* (Kleine) et spécimens à localité de collecte trop vague non représentés. En vert, le biome de la Forêt atlantique (d'après SIMON *et al.*, 2009) ; en rouge, les forêts tropicales à rythme saisonnier (d'après SÄRKINEN *et al.*, 2011).

baguette. Enfin, *N. buticulifer* se distingue extérieurement de ces deux espèces par sa stature bien plus allongée et par ses pores sensoriels céphaliques bien plus nombreux, non alignés sous le métarostre.

REMERCIEMENTS. – Je remercie bien sincèrement Emilia Constanza Perez (IMLA) pour l'envoi des photographies de l'holotype et de l'allotype de *Nemocephalus proseni*, Fernando Vaz-de-Mello (Cuiaba, Brésil) pour son aide pour situer des localités brésiliennes, et les responsables des collections citées dans cet article pour le prêt de spécimens.

AUTEURS CITÉS

- BLACKWELDER R. E., 1947. – Checklist of the coleopterous insects of Mexico, Central America, The West Indies and South America. Part 5. *Bulletin of the United States National Museum*, **185** : 771-777.
- HAEDO ROSSI J. A., 1954. – Los Brenthidae (Col.) argentinos. 4^e Parte. *Boletín de la Sociedad Entomológica Argentina*, **5** : 2.
- KLEINE R., 1922. – Studien über die Nemocephalini. *Archiv für Naturgeschichte*, (A) **88** : 143-151.
- KLEINE R., 1952. – Brenthidae (Col.) (p. 58-61). In : Titschack E. (éd.), *Beiträge zur Fauna Perus*, **3**. Jena : G. Fischer, 266 p.
- MANTILLERI A. 2015a. — What is *Teramocerus* Schoenherr, 1840? A new definition from revision and phylogeny of the group (Insecta, Coleoptera, Brentidae). *Zoosystema*, **37** (2) : 285-322. <https://doi.org/10.5252/z2015n2a1>
- MANTILLERI A., 2015b. – A revision of the genus *Nemobrenthus* Sharp (Coleoptera: Brentidae). *Neotropical Entomology*, **44** : 365-373. <https://doi.org/10.1007/s13744-015-0303-8>
- MANTILLERI A., 2016. – A new genus of the tribe Acratini from the continental Neotropical region (Coleoptera: Curculionoidea, Brentidae). *Annales de la Société entomologique de France*, (N. S.) **52** (3) : 107-134. <https://doi.org/10.1080/00379271.2016.1197795>
- MANTILLERI A., 2017. – Do species of *Neacratus* with anchor-shaped sclerite of endophallus really belong to *Neacratus* (Coleoptera: Brentidae: Acratini)? *Annales de la Société entomologique de France*, (N. S.) **53** (4) : 256-279. <https://doi.org/10.1080/00379271.2017.1340095>
- MANTILLERI A., 2018. – Two new species of *Neacratus* Alonso-Zarazaga, Lyal, Sforzi, and Bartolozzi (Coleoptera: Curculionoidea: Brentidae) from Peru and French Guiana. *The Coleopterists Bulletin*, **72** (4) : 785-791. <https://doi.org/10.1649/0010-065X-72.4.785>
- MANTILLERI A., BARTOLOZZI L. & SFORZI A., 2017. – Brentidae of Peru (Coleoptera: Curculionoidea). *Zootaxa*, **4221** (1) : 60-70. <https://doi.org/10.11646/zootaxa.4221.1.2>
- SÄRKINEN T., IGANCI J. R. V., LINARES-PALOMINO R., SIMON M. F. & PRADO D. E., 2011. – Forgotten forests – issues and prospects in biome mapping using Seasonally Dry Tropical Forests as a case study. *BMC Ecology*, **11** : 27. <https://doi.org/10.1186/1472-6785-11-27>
- SCHOENHERR C. J., 1840. – *Genera et species curculionidum, cum synonymia hujus familiae. Species novae aut hactenus minus cognitae, descriptionibus a Dom. Leonardo Gyllenhal, C. H. Boheman, et entomologicis aliis illustratae*, vol. **5** (2). Roret. Leipzig : F. Fleischer, p. 465-978.
- SFORZI A. & BARTOLOZZI L., 2004. – Brentidae of the World (Coleoptera, Curculionoidea). *Monografie del Museo Regionale di Scienze Naturali, Torino*, **39** : 1-976.
- SIMON M. F., GREYER R., QUEIROZ L. P. de, SKEMA C., PENNINGTON R. T. & HUGHES C. E., 2009. – Recent assembly of the Cerrado, a neotropical plant diversity hotspot, by in situ evolution of adaptations to fire. *Proceedings of the National Academy of Sciences of the United States of America*, **106** (48) : 20359-20364. <https://doi.org/10.1073/pnas.0903410106>
- SOARES B. A. M. & SCIVITTARO A., 1977. – Notas sobre Brêntidas. III (Coleoptera, Brentidae). *Revista Brasileira de Entomologia*, **21** (3-4) : 91-98.